

(19) 日本国特許庁(JP)

## (12) 特許公報(B2)

(11) 特許番号

特許第4598269号  
(P4598269)

(45) 発行日 平成22年12月15日(2010.12.15)

(24) 登録日 平成22年10月1日(2010.10.1)

(51) Int.Cl.

F 1

<b>G09C</b>	<b>1/00</b>	<b>(2006.01)</b>	G09C	1/00	650Z
<b>H04L</b>	<b>9/32</b>	<b>(2006.01)</b>	G09C	1/00	620A
<b>G06F</b>	<b>7/72</b>	<b>(2006.01)</b>	G09C	1/00	620Z
			HO4L	9/00	675B
			G06F	7/72	

請求項の数 18 (全 20 頁)

(21) 出願番号 特願2000-538291 (P2000-538291)  
 (86) (22) 出願日 平成11年3月25日 (1999.3.25)  
 (65) 公表番号 特表2002-508523 (P2002-508523A)  
 (43) 公表日 平成14年3月19日 (2002.3.19)  
 (86) 國際出願番号 PCT/CA1999/000254  
 (87) 國際公開番号 WO1999/049386  
 (87) 國際公開日 平成11年9月30日 (1999.9.30)  
 審査請求日 平成18年3月24日 (2006.3.24)  
 (31) 優先権主張番号 09/047,518  
 (32) 優先日 平成10年3月25日 (1998.3.25)  
 (33) 優先権主張国 米国(US)

(73) 特許権者 397071791  
 サーティコム コーポレーション  
 カナダ国 オンタリオ エル4ダブリュー  
 5エル1, ミシソーガ, エクスプローラ  
 ー・ドライブ 5520, フォース・フロ  
 ア  
 (74) 代理人 100107489  
 弁理士 大塙 竹志  
 (74) 代理人 100113701  
 弁理士 木島 隆一  
 (74) 代理人 100115026  
 弁理士 圓谷 徹  
 (74) 代理人 100116241  
 弁理士 金子 一郎

最終頁に続く

(54) 【発明の名称】 桁円曲線上の高速有限体演算

## (57) 【特許請求の範囲】

## 【請求項 1】

楕円曲線暗号システムの暗号モジュールを動作させることにより、公開鍵を生成する方法であって、該モジュールは、メモリと、楕円曲線の計算を実行するプロセッサとを含み、該メモリは、該楕円曲線暗号システムによって用いられる楕円曲線のパラメータを格納し、該楕円曲線上にある座標( $x_1, y_1$ )を有する点Pを格納し、

該方法は、

- a ) 該プロセッサを用いて点Pの射影X座標および射影Z座標を計算するステップと、
- b ) 該プロセッサにおいて、Pの射影X座標および射影Z座標を利用することにより、

i ) kPの射影X座標 $x_2$ および射影Z座標 $z_2$ の値と、

ii ) (k+1)Pの射影X座標 $x_3$ および射影Z座標 $z_3$ の値と

を取得するステップと、

c )  $x_2$ および $z_2$ の値を組み合わせることにより、kPのアフィン座標 $x_2$ を導出するステップと、

d ) 該点Pの座標と該導出された $x_2$ の値と(k+1)Pの射影座標 $x_3, z_3$ とを組み合わせることにより、該点kPのアフィンy座標 $y_2$ の値を取得するステップと、

e ) 該暗号モジュールによって実行される暗号動作において、kPの座標( $x_2, y_2$ )を利用するステップと  
を含む、方法。

## 【請求項 2】

10

20

前記楕円曲線暗号システムは、標数が2の体にわたって定義されている、請求項1に記載の方法。

**【請求項3】**

$kP$ のアフィン $y$ 座標の決定は、 $x_1Z_3$ の逆数を用いて実行される、請求項2に記載の方法。

**【請求項4】**

$kP$ のアフィン $y$ 座標の決定は、以下の式

**【数1】**

$$y_2 = (x_1 + x_2) \left( \frac{1}{x_1 Z_3} (X_3(x_1 + x_2) + Z_3 y_1) + x_2 \right) + y_1$$

10

に従って実行される、請求項3に記載の方法。

**【請求項5】**

前記楕円曲線暗号システムは、標数が奇数の体にわたって定義されている、請求項1に記載の方法。

**【請求項6】**

$kP$ のアフィン $y$ 座標の決定は、 $Z_3$ の逆数を用いて実行される、請求項5に記載の方法。

**【請求項7】**

前記楕円曲線は、一対のパラメータ $a$ 、 $b$ に関連付けられており、 $kP$ のアフィン $y$ 座標の決定は、以下の式

**【数2】**

$$y_2 = \frac{1}{2y_1} ((x_1 + x_2)(a + x_1 x_2) + 2b - x_3(x_2 - x_1)^2).$$

20

に従って実行される、請求項6に記載の方法。

**【請求項8】**

$kP$ のアフィン $y$ 座標の決定は、 $y_1Z_3$ の逆数を用いて実行される、請求項5に記載の方法。

30

**【請求項9】**

前記楕円曲線は、一対のパラメータ $a$ 、 $b$ に関連付けられており、 $kP$ のアフィン $y$ 座標の決定は、以下の式

**【数3】**

$$y_2 = \frac{1}{2y_1 Z_3} (Z_3((x_1 + x_2)(a + x_1 x_2) + 2b) - X_3(x_2 - x_1)^2).$$

に従って実行される、請求項8に記載の方法。

**【請求項10】**

40

暗号動作において用いられる公開鍵 $kP$ を計算する暗号システムであって、該システムは、該暗号システムにおいて用いられる楕円曲線を定義するパラメータおよび点 $P = (x_1, y_1)$ が格納されているメモリと、楕円曲線の計算を実行し、該メモリと通信する算術論理部とを含み、該算術演算部は、 $P$ の射影 $X$ 座標および射影 $Z$ 座標を取得するように構成されており、

該算術演算部は、

a)  $P$ の射影 $X$ 座標および射影 $Z$ 座標を利用することにより、

i)  $kP$ の射影 $X$ 座標 $X_1$ および射影 $Z$ 座標 $Z_1$ の値と、

ii)  $(k+1)P$ の射影 $X$ 座標 $X_3$ および射影 $Z$ 座標 $Z_3$ との値と

を取得することと、

50

b)  $X_2$  および  $Z_2$  の値を組み合わせることにより、 $kP$  のアフィン座標  $x_2$  を導出することと、

c) 該点  $P$  の座標と該導出された  $x_2$  の値と  $(k+1)P$  の射影座標  $X_3$ 、 $Z_3$  とを組み合わせることにより、該点  $kP$  のアフィン  $y$  座標  $y_2$  の値を取得することとによって、該公開鍵  $kP$  を計算する、暗号システム。

**【請求項 1 1】**

前記楕円曲線は、標数が 2 の体にわたって定義されている、請求項 1 0 に記載の暗号システム。

**【請求項 1 2】**

$kP$  のアフィン  $y$  座標の決定は、 $x_1 Z_3$  の逆数を用いて実行される、請求項 1 1 に記載の暗号システム。 10

**【請求項 1 3】**

$kP$  のアフィン  $y$  座標の決定は、以下の式

**【数 4】**

$$y_2 = (x_1 + x_2) \left( \frac{1}{x_1 Z_3} (X_3(x_1 + x_2) + Z_3 y_1) + x_2 \right) + y_1$$

に従って実行される、請求項 1 2 に記載の暗号システム。

**【請求項 1 4】**

前記楕円曲線暗号システムは、標数が奇数の体にわたって定義されている、請求項 1 0 に記載の暗号システム。 20

**【請求項 1 5】**

$kP$  のアフィン  $y$  座標の決定は、前記  $Z_3$  の逆数を用いて実行される、請求項 1 4 に記載の暗号システム。

**【請求項 1 6】**

前記楕円曲線は、一対のパラメータ  $a$ 、 $b$  に関連付けられており、 $kP$  のアフィン  $y$  座標の決定は、以下の式

**【数 5】**

$$y_2 = \frac{1}{2y_1} ((x_1 + x_2)(a + x_1 x_2) + 2b - X_3(x_2 - x_1)^2).$$

に従って実行される、請求項 1 2 に記載の暗号システム。

**【請求項 1 7】**

$kP$  のアフィン  $y$  座標の決定は、 $y_1 Z_3$  の逆数を用いて実行される、請求項 1 4 に記載の暗号システム。 30

**【請求項 1 8】**

前記楕円曲線は、一対のパラメータ  $a$ 、 $b$  に関連付けられており、 $kP$  のアフィン  $y$  座標の決定は、以下の式

**【数 6】**

$$y_2 = \frac{1}{2y_1 Z_3} (Z_3((x_1 + x_2)(a + x_1 x_2) + 2b) - X_3(x_2 - x_1)^2)$$

に従って実行される、請求項 1 7 に記載の暗号システム。

**【発明の詳細な説明】**

本発明は、有限体 (finite field) 上で演算を高速に行う方法に関連し、特に、暗号システムで使われる体 (field)  $F_{2^m}$  上で行われる演算に関連するものである。

**【0001】**

**【発明の背景】**

ここでは、 $F_2^m$ において標数が2の有限体を扱う。この有限体を用いれば楕円曲線に関する代数計算を効率よく実行できる。体 $F_2^m$ は、 $F_2$ 上でのm次元ベクトル空間として見ることができる。 $F_2$ 上における $F_2^m$ の基底が一旦選択されると、 $F_2^m$ の元が、0と1との成分からなる長さmのベクトルとして上手く表現できる。ハードウェアでは、長さmのシフトレジスターに体の元が記録されている。体の元の加算は、ベクトル表現についてビットを用いてXOR演算（で表す）を実行することによって行う。この演算の所要時間は、クロック周期1つ分である。

#### 【0002】

ある所からメッセージが送信されたことと、その内容が通信中に改竄されていないことを確認するためには、デジタル署名が使用される。

10

#### 【0003】

広く使用されている署名プロトコールセットの中には、送信者の個人キーを使ってメッセージに署名する、ELGamal公開キー署名方式を使用するものがある。この方式では、受信者は、送信者の公開キーを使ってその署名を認証することができる。

#### 【0004】

こういった方式を実行するプロトコールには色々あって、広く使われているものがいくつか存在する。ただし、いずれの場合であっても、受信者側で計算を実行して署名を認証しなければならない点については同じである。受信者側に十分な計算能力があれば、計算の必要性は取りたてて問題にはならない。しかし「スマート・カード」を利用した機器のように、受信者側の計算能力に限界のある場合には、計算をしなければならないがために認証に時間がかかることがある。

20

#### 【0005】

公開キー方式は、対応しきれない程の離散的なログ問題のあるように見えるいくつかの群の1つを使って実行できるが、有限体において、楕円曲線上にある複数の点の特徴を使って実行すれば、特に目立った効果が得られる。つまり、こうすることで、例えば $Z_p^*$ で実行することに比べ、比較的低い次数の体で必要な安全性を得られるといった効果が生まれる。したがって、署名をやり取りするための通信帯域を、小さくできる。

#### 【0006】

実行の際、一般に、署名部分sは、以下の式で表される。

$$s = a e + k \pmod{n}$$

30

ここで、Pは、曲線上の点であり、前もって定義されたシステムのパラメタである。kは、短期個人キーあるいはセッションキーとして選択されたランダムな整数で、対応する短期公開キーR = kPを有している。aは、送信者の長期個人キーで、相当する公開キーaP = Qを有している。eは、メッセージmと短期公開キーRとの、SHAハッシュ関数などの安全なハッシュ(secure hash)である。nは、曲線の次数である。

#### 【0007】

送信者は、受信者に対してm、s、およびRを含んだメッセージを送る。そして、その署名を、 $R' = (sP - eQ)$ の値を求めることによって認証する。この値 $R'$ は、Rに対応しているはずであり、計算で求めた $R'$ がRに等しければ、署名を本物であると認定できる。

40

#### 【0008】

この認証を行うためには、sPとeQとを求めるために点について乗算を何度も行う必要があるが、どちらも計算は複雑である。

#### 【0009】

$F_q$ が有限体であると仮定すれば、 $F_q$ 上の楕円曲線はスーパーシンギュラー曲線と非スーパーシンギュラー曲線との2つの類に分けられる。また、 $F_q$ の標数を2、つまり $q = 2^M$ と仮定すれば、上記の類は以下のように定義される。

(1) 方程式  $y^2 + a_1 y = x^3 + b_2 x^2 + c$  (ただし、 $a_1, b_2, c \in F_q$ 、 $a_1 \neq 0$ ) の全ての解と、無限遠点と呼ばれる特別な点Oとで、 $F_q$ 上でスーパーシンギュラー曲線を形成する。

50

(2) 方程式  $y^2 + xy = x^3 + ax^2 + b$  (ただし、 $a, b \in F_q$  、 $b \neq 0$ ) の全ての解と、無限遠点と呼ばれる特別な点  $O$  とで、 $F_q$  上で非スパーシンギュラー楕円曲線を形成する。

## 【0010】

これらの点について適当な加算を定義すれば、加算に関するアーベル群を得られる。 $y^2 + ay = x^3 + bx^2 + c$  で表されるスパーシンギュラー楕円曲線  $E$  について、点  $P(x_1, y_1)$  と点  $Q(x_1, y_1)$  との2点の加算は以下のようになる。

$P(x_1, y_1) \in E$  のとき、全ての  $P \in E$  について、 $-P$  を、 $-P = (x_1, y_1 + a)$  ,  $P + O = O + P = P$  と定義する。

また、 $Q = (x_2, y_2) \in E$  かつ  $Q \neq -P$  のとき、 $P$  と  $Q$  との和を表す点を  $(x_3, y_3)$  と表記する。ここで、 $x_3$  は、 10

## 【0011】

## 【数2】

$$x_3 = \begin{cases} \left( \frac{y_1 \Theta y_2}{x_1 \Theta x_2} \right)^2 \Theta x_1 \Theta x_2 & (P \neq Q) \\ \frac{x_1^4 \Theta b^2}{a^2} & (P = Q) \end{cases}$$

あるいは、

$$x_3 = \begin{cases} \left( \frac{y_1 \Theta y_2}{x_1 \Theta x_2} \right) \Theta (x_1 \Theta x_2) \Theta y_1 \Theta a & (P \neq Q) \\ \frac{x_1^4 \Theta b^2}{a^2} & (P = Q) \end{cases}$$

また、 $y_3$  は、

$$y_3 = \begin{cases} \left( \frac{y_1 \Theta y_2}{x_1 \Theta x_2} \right) \Theta (x_1 \Theta x_2) \Theta y_1 \Theta a & (P \neq Q) \\ \frac{x_1^2 \Theta b}{a} & (P = Q) \end{cases}$$

あるいは、

$$y_3 = \begin{cases} \left( \frac{y_1 \Theta y_2}{x_1 \Theta x_2} \right) \Theta (x_1 \Theta x_2) \Theta y_1 \Theta a & (P \neq Q) \\ \frac{x_1^2 \Theta b}{a} & (P = Q) \end{cases}$$

である。

## 【0012】

非スパーシンギュラー楕円曲線である  $y^2 + xy = x^3 + ax^2 + b$  について、点  $P(x_1, y_1)$  と点  $Q(x_1, y_1)$  との2点の加算は、以下のようになる。

## 【0013】

$P(x_1, y_1) \in E$  のとき、全ての  $P \in E$  ,  $O + P = P + O = P$  について、 $-P$  を  $-P = (x_1, y_1 + x_1)$  と定義する。 40

## 【0014】

また、 $Q = (x_2, y_2) \in E$  かつ  $Q \neq -P$  のとき、 $P + Q$  は点  $(x_3, y_3)$  である。ここで、 $x_3$  は、

## 【0015】

## 【数3】

$$x_3 = \begin{cases} \left( \frac{y_1 \Theta y_2}{x_1 \Theta x_2} \right)^2 \Theta \frac{y_1 \Theta y_2}{x_1 \Theta x_2} \Theta x_1 \Theta x_2 \Theta a & (P \neq Q) \\ x_l^2 \Theta \frac{b}{x_l^2} & (P = Q) \end{cases}$$

あるいは、

$$x_3 = \begin{cases} x_l^2 \Theta \frac{b}{x_l^2} & (P = Q) \end{cases}$$

である。 10

また、  $y_3$  は、

$$y_3 = \begin{cases} \left( \frac{y_1 \Theta y_2}{x_1 \Theta x_2} \right) \Theta (x_1 \Theta x_3) \Theta x_3 \Theta y_1 & (P \neq Q) \end{cases}$$

あるいは、

$$y_3 = \begin{cases} x_l^2 \Theta \left( x_l \Theta \frac{y_1}{x_l} \right) \Theta x_3 \Theta x_3 & (P = Q) \end{cases}$$

20

である。

#### 【0016】

ここでは、この2種類の楕円曲線のうち、スーパーシンギュラー曲線の方が、MOVアタックに対して強いため好ましい。E上の2点の和を計算するには、この2点が存在する下層の体 (underlying field)  $F_{2^m}$  において乗算、加算、逆演算を行う必要があることがわかる。さらに、これらの演算を実行するには、それぞれ基本的なビット演算を何度も実行する必要がある。

#### 【0017】

E1GammaあるいはDiffie-Hellman方式で暗号演算を実行する際、あるいは、一般的に楕円曲線を用いて暗号演算を実行する際には、 $kP = P + P + \dots + P$  ( $P$ を  $k$  回加える。ただし  $k$  は正の整数で、 $P \in E$ ) を計算する必要があるが、そのためには  $(x_3, y_3)$  を  $k - 1$  回計算しなければならない。暗号に応用するには一般に  $k$  が大きな値を取ることが必要であるが、大きな値の  $k$  をデータ通信に用いるのは実用的でないと今まで考えられてきた。 $k$  が大きな値、例えば 1024 ビットを取ると、 $kP$  を計算するには  $P$  を  $2^{1024}$  回加えなければならない。

30

#### 【0018】

しかも、乗算に関する群では、乗算および逆演算の計算量が非常に大きくなり、体における乗算よりも、体における逆演算の方がコスト高となる。2点を加える際に射影座標を採用すれば、逆演算は不用になるが、加算を実行するために必要な乗算の回数は、擬似座標を用いるときに比べ多くなる。

40

#### 【0019】

バンストーンその他は、雑誌「暗号学」に掲載された論文、「楕円曲線を用いた暗号システムとその実行」("Elliptic Curve Cryptosystems and Their Implementation" by Vanstone et al., published in The Journal of Cryptology) 中で、射影座標に変換することによって逆演算を不要にして、2つの点を加える方法について記している。この方法では、逆演算をしないですむので全体の演算速度は上昇しているが、これは、装置のコンパクト性の犠牲の上に成り立っている。つまり、 $P$  と  $Q$  を記録し、さらに加算を実行する際の中間結果を記録するために余分なレジスタが必要になるのである。しかも、この方法では計算中に  $y$  座標を使わなければならない。

50

**【0020】****[発明の要旨]**

本発明は、上記のことを踏まえてなされ、以上で述べた欠点を克服、あるいは軽減する方法と装置とを提供することを目的の1つとしている。

**【0021】**

また、本発明は、スマートカード等、演算能力の限られたプロセッサでも比較的に効率よく実行することの可能な、有限体の元について乗算を実行する方法を提供することも目的としている。

**【0022】**

さらに本発明は、楕円曲線に基づいた暗号化方式において、署名の認証を高速化する方法と装置とを提供することも目的としている。 10

**【0023】**

本発明では、体  $F_2^m$  上で定義される楕円曲線上の点 P の倍数を決定する方法を提供し、この方法は、数値 k を、2 値数  $k_i$  からなるベクトルとして表すステップと、差が P を越えない1対の点である点  $P_1$  および点  $P_2$  を作るステップと、 $k_i$  をそれぞれ順に選択し、さらに、それぞれの  $k_i$  について、 $k_i$  が 1 のときには、上記点  $P_1$  および点  $P_2$  の対を加えて新しい点  $P_1$  を形成し、点 P を点  $P_1$  に加えて新しい点  $P_2$  を形成して、これらの新しい2点で点  $P_1$  および点  $P_2$  の対を置き換え、また、 $k_i$  が 0 のときには、上記点  $P_1$  を2倍して新しい点  $P_1$  を形成し、上記点 P を加えて新しい点  $P_2$  を形成して、これらの新しい2点で点  $P_1$  および点  $P_2$  の対を置き換え、M - 1 回（ただし、M は k の桁数）の繰り返しで上記点  $P_1$  から積 k P を求めるステップを含んでいる。 20

**【0024】**

さらに、本発明者は、計算中に点 P の y 座標を用いないで積 k P の計算を実行できる方法に基づいて、実際に計算を行った。

**【0025】**

以下の記述では、実施例を用いて本発明を説明する。ただし、本発明はこれらの実施例に限られるものではなく、実施例はあくまでも例にすぎない。

**【0026】****[好ましい実施の形態の詳細な説明]**

図1を参照すると、データ通信システム2は、通信路14を介して接続された送信側10と受信側12とからなる一対の通信部を有している。各通信部10・12は、それぞれに関連付けられた暗号化／解読部16を有しており、暗号化／解読部16は、以下に説明するように、デジタル情報を処理でき、通信路14を介して送信されるように、デジタル情報を生成するものである。暗号化／解読部は、キー交換プロトコル、および暗号化／解読アルゴリズム等を実行するものである。 30

**【0027】**

モジュール16は、図2に概略的に示されており、キー交換およびキー生成などの演算を行うために、算術論理部20を含んでいる。個人キーレジスタ22は、ランダム数生成部24から、例えば、155ビットのデータ列で生成される個人キー d を含んでおり、公開キー リジスタ26に記憶される公開キーを生成するために使用される。基準点レジスタ28は、各座標 (x, y) で選択された楕円曲線上に位置する、基準点 P の座標を含んでおり、(x, y) は、155ビットのデータ列で表される。各データ列は2値数のベクトルであり、2値数のそれぞれは、座標の正規基底表現における、有限体の元の係数である。 40

**【0028】**

選択された楕円曲線は、 $y^2 + xy = x^3 + ax^2 + b$  の一般式で表され、該曲線のパラメタ、すなわち、係数 a および b は、パラメタレジスタ30に記憶される。レジスタ22, 24, 26, 28, 30の内容は、必要に応じて、CPU32の制御下において算術部20に転送されてもよい。

**【0029】**

公開キーレジスタ26の内容も、適切な要請を受信することにより、通信路14に供する 50

ことができる。最も簡単な実行では、共通の安全な領域（secure zone）にある各暗号化モジュール16は、同一の曲線および基準点で動作するため、レジスタ28および30の内容はアクセス可能である必要はない。さらなる高度性が必要であれば、各モジュール16は、独自の曲線および基準点を選択してもよく、その場合、レジスタ28および30の内容は、通信路14にアクセス可能である必要がある。

#### 【0030】

モジュール16は、暗号化およびキー交換で使用される上記生成部24から、セッションシードである整数kを受信する整数レジスタ34をさらに備えている。また、モジュール16は、演算中に必要に応じて一時記憶部として使用されるランダムアクセスメモリ（RAM）36を有している。10

#### 【0031】

一般的な実施の形態では、送信側は、送信側の公開キーQ、メッセージm、送信側の短期公開キーR、および送信側の署名部分sなどからなるデータ列を形成する。データ列は、形成後、通信路14を介して所望の受信者12に送信される。

#### 【0032】

簡略化のため、送信側12の署名部分sは、上記したように、 $s = a e + k \pmod{n}$  の式で表されるものとするが、無論、他の署名プロトコルも使用可能である。認証のためには、署名 $s P - e Q$ を演算すると共に、Rと比較する必要がある。

#### 【0033】

したがって、受信者の最初の工程は、データ列からQの値を検索することである。ハッシュ値eも、メッセージm、および点Rの座標から演算されてもよい。これにより、受信者は、 $s P$ および $e Q$ の演算により認証を行える。20

#### 【0034】

$s P$ および $e Q$ の計算を高速化するために、受信者は、新しい点 $s P$ の座標を以下のように計算することができ、下層の体（underlying field） $F_{2^m}$ における乗算、加算、および逆演算（inverses）が数回行われることを防止する。すなわち、受信者は、図3に示す、「2倍加算」方法の手段により $s P$ を計算できる。

#### 【0035】

図3を参照すると、本発明の一実施形態により説明される、点 $k P$ を得るために値kで橿円曲線E上の点Pを乗算する「2倍加算」方法では、最初に、kを2値の状態で表すことにより実行される。次に、連続する点の対 $(m P, (m+1) P)$ が設定される。kの連続する桁のそれが順に考慮され、kの2値表現における0値が出現すると、点の対のうち、最初の点が2倍され、次の点に1が加算される。すなわち、 $(m P, (m+1) P)$ から $(2m P, (2m+1) P)$ が演算される。また、kの2値表現における1値が出現すると、点の対のうち、最初の点は、前回の点の対を加算することによって得られ、次の点は、最初の点に1を加算することによって得られる。すなわち、 $(m P, (m+1) P)$ から $((2m+1) P, (2m+2) P)$ が演算される。30

#### 【0036】

これは、 $k = 23$ である場合の、以下の簡単な例により説明される。kの値が、2値の対 $(11011)$ で表されるとすると、上記の規定を1対の点 $(P, 2P)$ に適用することにより、 $(2P, 3P); (5P, 6P); (11P, 12P)$ の、連続する点の数列が得られ、最終的に $(23P, 24P)$ が得られる。したがって、点の対のうち、最初の点が必要とされる点である。40

#### 【0037】

このように、ある点の対の各点が、Pだけ異なっている点で、点の対に対し上記の「2倍加算」演算を連続的に行うことにより、最終の結果である $23P$ が得られる。さらに、「2倍加算」演算の回数は、最大で、kのビット数より1だけ少ない回数に等しく、 $(m-1)$ 回である。「2倍加算」方法は、大きな値を持つkに対して、プロセッサによる演算の回数を削減するに優れた利点を有するものである。これは、発明の背景で説明した、单一の点Pに対してkの2倍乗算および加算を行う場合と対象的である。50

## 【0038】

$sP$  および  $eQ$  の計算の説明に戻ると、受信者は、上記の実施の形態を適用し、 $F_2^m$  で定義された、非スパーサンギュラー楕円曲線  $E$ ， $y^2 + xy = x^3 + ax^2 + b$  に対して  $sP$  を計算することができる。

## 【0039】

$P_1 = (x_1, y_1)$  であり、 $P_2 = (x_2, y_2)$  である場合、 $P_1 \pm P_2$  は、曲線  $E$  上の点であるため、 $P_1 + P_2 = (x_3, y_3)$  のように定義することができ、式中、 $x_3 = x_1^2 + \dots + x_1 + x_2 + a \quad (1)$

であり、曲線の傾きは、

$$= (y_2 + y_1) / (x_2 + x_1) \quad 10$$

で表すことができる。

## 【0040】

同様に、 $-P_2 = (x_2, y_2 + x_2)$  であり、 $P_1 - P_2 = (x_4, y_4)$  である場合

$$\begin{aligned} x_4 &= (!)^2 + (!) + x_1 + x_2 + a = x_1^2 + x / (x_1 + x_2)^2 + \dots + x_2 \\ &/ (x_1 + x_2) + x_1 + x_2 + a \quad (2) \end{aligned}$$

であり、式中、

$$(!) = (y_2 + x_2 + y_1) / (x_2 + x_1) = x_2 / (x_2 + x_1) + \dots \text{であり、} \\ x_3 \text{ および } x_4 \text{ を加算すると、} \quad 20$$

$$x_3 + x_4 = x / (x_1 + x_2)^2 + x_2 / (x_1 + x_2) = x_1 x_2 / (x_1 + x_2) \\ ^2 \quad (3)$$

が得られる。

$(P_1 + P_2)$  の  $x$  座標  $x_3$  を演算するには、 $P_1$ 、 $P_2$ 、および  $(P_1 - P_2)$  の  $x$  座標のみが必要ではあるが、この演算は、逆演算を必要とするため、最適に効率がよいものではない。また、これらの計算は  $y$  座標を必要としない。

## 【0041】

再び図 2 を参照すると、値  $kP$  は、「2倍加算」方法を用いて計算することができる。新しい点の対を演算する場合は、常時、上記の数式 (3) の加算公式が使用され、演算は  $m$  回行われる。

## 【0042】

したがって、 $x_1$ 、 $x_2$ 、および  $x_4$  を伴う  $x_3$  を得るために公式が得られたことになる。しかしながら、この公式は逆演算を含むものであり、コストが高くなってしまう。この公式は、以下のように変更することができ、 $x_1$ 、 $x_2$ 、および  $x_3$  の値が、 $x_1/z_1$ 、 $x_2/z_2$ 、 $x_3/z_3$  で表されるとすると仮定し、 $x_1$ 、 $x_2$ 、 $x_3$ 、 $z_1$ 、 $z_2$ 、 $z_3$  が、「2倍追加」アルゴリズムで保持された値だとする。そして、これらの新しい表記を数式 (3) に置換すると、以下のようになる。

## 【0043】

## 【数4】

$$\frac{x_3}{z_3} = x_4 + \frac{\frac{x_1 x_2}{z_1 z_2}}{\left(\frac{x_1}{z_1} + \frac{x_2}{z_2}\right)^2} = x_4 + \frac{x_1 x_2 z_1 z_2}{(x_1 z_2 + x_2 z_1)^2} = \frac{x_4(x_1 z_2 + x_2 z_1)^2 + x_1 x_2 z_1 z_2}{(x_1 z_2 + x_2 z_1)^2} \quad 40$$

## 【0044】

したがって、 $x_3 = x_4 (x_1 z_2 + x_2 z_1)^2 + x_1 x_2 z_1 z_2$ 、 $z_3 = (x_1 z_2 + x_2 z_1)^2$  とすれば、図 3 に示す「2倍追加」アルゴリズムを、(新しい表記を用いて) 実行することができ、このアルゴリズムのほとんどにおいて逆演算を避けることができる。

## 【0045】

$x_3$  および  $z_3$  の上記式から、 $x_3$  は、最大で、4回の乗算演算を行うことによって計算できることが分かる。

#### 【0046】

点  $P_1$  および  $P_2$  の合計は、 $x_3$  に関して表現され、 $z_3$  は、比較的高コストな逆演算を  $x$  座標に対して行うことなく得られ、最大で4回の乗算および2回の2乗により演算できる。残余の加算および2乗の演算は、演算能力に関して比較的低コストで行われる。 $(x_1 z_2 + x_2 z_1)^2$  の項の演算は、括弧内の値の正規基底表現の循環シフトにより得られ、これは、汎用プロセッサにより比較的簡単に実行することができる。アルゴリズムの終了時点で、必要に応じて、元の表記に転換することができる。

#### 【0047】

再び図3を参照すると、点  $P(x_1, y_1)$  を2倍するために、 $2(x_1, y_1) = (x_3, y_3)$  とし、上記と同様に、橜円曲線Eの式が、 $F_2^m$  上で  $y^2 + xy = x^3 + ax^2 + b$  として得られる場合、点  $2P$  の  $x$  座標は、

$$x_3 = x_1^2 + (b / x_1^2)$$

として表される。

#### 【0048】

前回と同様に、座標を射影座標として表すと、

$$x_3 = x_1^4 + b z_1^4$$

$$z_3 = (x_1 z_1)^2$$

あるいは

$$x_3 = (x_1 + (b) z_1)$$

が得られる。

#### 【0049】

$b$  を比較的小さくすることにより、演算的に高コストである演算処理を、 $z_3$  項に対して、略1回の乗算演算に省略することができる。最後の式にしたがって、 $(b)$  を事前に演算することにより、 $x_3$  を計算することができ、必要とされる2乗は2回分少なくなる。また、正規基底表現で述べたように、 $x_1^4$  および  $z_1^4$  の演算は、それぞれの値の表現の2回の循環シフトによって得られ、 $(x_1 z_1)^2$  は、積の1回の循環シフトにより得られる。

#### 【0050】

上述した、図3に示す「2倍追加」方法を適用すると、 $m$ ビットのスカラーに対して、 $F_2^m$  上で定義された  $kP$  の計算は、最大で、 $(m - 1)$ 回の「2倍加算」演算が必要となることが分かる。上記の説明から、橜円曲線上の点に対する2倍演算は、最大で2回の乗算演算を行うことによってなされ、加算演算は、最大で4回の乗算演算を行うことによってなされる。したがって、本発明の方法を用いて  $kP$  の座標を演算するには、最大で、6回の $(m - 1)$ の乗算演算が必要となる。

#### 【0051】

$x$  の値を計算すれば、上記したように、 $y$  座標の値も求めることができる。しかしながら、各  $x$  座標には、最大で、2つの  $y$  座標が存在することになる。例えば、点  $24P$  を得るために最後の工程では、 $24P$  は  $23P + P = 24P$  で表すことができるため、 $23P$  および  $P$  の両点が分かることになる。点  $A = 23P$  の  $x$  座標  $x_{23}$  が上記のように得られたと仮定すると、橜円曲線式Eに  $x_{23}$  を置換し、得られる二次方程式を解くことにより、点  $A = (x_{23}, y_{23}^{(1)})$  、および  $B = (x_{23}, y_{23}^{(2)})$  に対応する2つの  $y$  の値が得られる。次に、 $24P = 23P + P$  を計算することにより得られた  $x$  座標  $x_{24}$  を、橜円曲線式に置換することにより、 $(x_{24}, y_{24}^{(1)})$  および  $(x_{24}, y_{24}^{(2)})$  の2点が得られる。このようにして得られた2点は記憶される。点  $A + B$  には、一般的な点加算により、点  $P$  が加算され、それぞれ対応する、 $A + P = (x_a, y_a)$  、および  $B + P = (x_b, y_b)$  が得られる。これらの点が全て一致しない場合は、 $(x_b, y_b)$  が正しい点となり、そうでなければ、点  $(x_b, y_b)$  が正しい点となる。したがって、点  $P$  の倍数は、 $y$  座標を知ることなしに簡単に計算することができ、さらに、必要ならば、 $y$  座標は計算の

10

20

30

40

50

終了時に得ることができる。

#### 【0052】

したがって、例えば、再び橜円曲線に対する ElGamal 方式を参照すると、 $r = kP = (x, y)$  を演算する必要がある。この場合、y 座標は省略でき、メッセージ m のハッシュを得て、x 座標である  $e = h(m // x)$  を得ることができる。そして、送信側は、受信者に対して、署名 s およびハッシュ e を含んだメッセージを送信する。署名 s は、 $s = (de + k) \bmod n$  の形式を有しており、d は、送信側の個人キーであり、k は、送信側により生成されたランダム数である。そして、受信者は、 $sP - eQ = r$  を計算することにより署名を認証する。 $sP$  および  $eQ$  は共に、本発明の「2倍加算」方法により計算することができる。 $sP$  および  $eQ$  の x の値が橜円曲線式 E に再び置換されることにより、各値から、y の 2 つの可能値である  $(x_1, y_1^{(1)})$ ,  $(x_1, y_1^{(2)})$  、および  $(x_2, y_2^{(1)})$ ,  $(x_2, y_2^{(2)})$  が得られる。これらの点の順列（パーティション）間で点減法が行われた場合、正しい y により、適切なマッチング r が得られる。これらの置換のいずれによってもマッチング r が得られない場合は、署名は認証されない。

#### 【0053】

図 4 は、図 3 を参照して説明した方法により得られた  $kP$  の y 座標を求めるさらなる方法の概略図であり、ある点  $P = (x, y)$ 、 $(k-1)P$  である x 座標  $x_{k-1}$  、および  $kP$  である  $x'$  を番号 50 で示している。図 3 で  $kP$  の x 座標を演算することから示唆されるように、 $(k-1)P$  の x 座標も計算される。

#### 【0054】

したがって、最初に、橜円曲線式に置換することにより、点  $(x', y')$  が該曲線上に位置するように  $y'$  の値を得る。次に、工程 54において、点 Q を、 $(x', y')$  に指定する。そして、 $Q - P = (x'', y'')$  を、単一点減算（singlepoint subtraction）により完成する。得られた x 座標  $x''$  を、 $(k-1)$  の x 座標  $x_{k-1}$  と工程 56 で比較し、 $x'' = x_{k-1}$  であれば、 $y'$  が、 $kP$  の y 座標となり、そうでなければ、 $y'$  が、 $-kP$  の y 座標となる。なお、この方法は、 $0 < k <$  点 P の次数、であれば実行可能なものである。

#### 【0055】

$kP$  を演算する本発明の方法を使用することにより、 $kP$  および  $(k+1)P$  上に x 座標が得られるように、 $(k+1)P$  を演算することができる。この場合、y 座標は、 $Q + P = (x'', y'')$  を演算し、座標  $x''$  を、 $(k+1)P$  の x 座標と比較することによって求めることができる。

#### 【0056】

図 5 を参照し、橜円曲線署名の認証のための、本発明の実施形態のさらなる適用を番号 70 により示す。上記のように、第 1 の通信部 10 は、個人キーランダム整数 d、および点  $Q = dP$  を演算することによって得られた、対応公開キー Q を含むものとする。メッセージ m に署名するために、ハッシュ関数 H を用いて、ハッシュ値 e がメッセージ m から演算される。次に、ランダム整数 k が、個人セッションキーとして選択される。対応公開キー  $kP$  は、ランダム整数 k から計算される。そして、第 1 の通信部は、点  $kP$  の x 座標を整数 z として表現し、第 1 の署名部分  $r = z \bmod n$  を計算する。

#### 【0057】

その後、第 2 の署名部分  $s = k^{-1}(e + dr) \bmod n$  も計算される。そして、署名部分 s および r、そしてメッセージ M が、第 2 の通信部 12 に送信される。第 2 の通信部 12 により署名  $(r, s)$  をメッセージ M に対して認証するためには、第 2 の通信部 12 は、第 1 の通信部 10 の公開キー Q を参照する。メッセージ M のハッシュ  $e'$  は、ハッシュ関数 H を用いて計算され、 $e' = H(M)$  となる。 $c = s^{-1} \bmod n$  の値も計算される。次に、整数値  $u_1$  と  $u_2$  とが計算され、 $u_1 = e'c \bmod n$ 、および  $u_2 = rc \bmod n$  となる。署名を認証するためには、 $u_1P + u_2Q$  の値を計算する必要がある。P は知られており、システムワイドパラメタであるため、 $u_1P$  の値は、予め

10

20

30

40

50

計算された  $P$  の乗数を用いて素早く演算することができる。例えば、これらの値は、 $2P$ 、 $4P$ 、 $8P$ などの、 $P$  の倍数を予め記憶したテーブルから組み合わせて求めることができる。これに対し、点  $Q$  は流動的であり、ユーザによって変化するものであるため、 $u_2 \cdot Q$  の値の演算は時間を要するものであり、一般的に、予め演算しておくことはできない。

#### 【0058】

しかしながら、本発明に開示の方法による手段により、署名の認証を大幅に高速化することができる。通常、 $R = u_1 \cdot P + u_2 \cdot Q$  が演算される。点  $R = (x, y)$  の体の元  $x$  が、整数  $z$  に転換され、 $v = z \bmod n$  の値が演算される。 $v = r$  であれば、署名は認証されたことになる。

#### 【0059】

また、 $u_2 \cdot Q$  を演算するために、「2倍加算」の利点を使用する方法がある。 $u_2$  のモジュラー逆演算(modular inverse)が、 $u_2^{-1} = u_2^{n-1} \bmod n$  と計算された場合、 $R$  は、 $u_2 \cdot (u_1 \cdot u_2^{-1} \cdot P + Q)$  として表すことができ、すなわち、 $u_2 \cdot u_2^{-1} = 1$  の恒等式(identity)が使用される。 $u_1 \cdot u_2^{-1}$  の値は整数であるため、簡単に計算できる。したがって、点  $u_1 \cdot u_2^{-1} \cdot P$  は、予め記憶された、 $P$  の倍数の値から簡単に計算、もしくは形成できる。その後、点  $Q$  は、点  $u_1 \cdot u_2^{-1} \cdot P$  に、1回の加算により加算され、新しい点  $R'$  が得られる。

#### 【0060】

したがって、署名を認証するためには、受信者は、 $u_2 \cdot R'$  の値の  $x$  座標を求めるだけよいことになる。この計算は、図3を参照して説明した「2倍加算」方法を用いて行うことができる。計算結果が  $r$  と等しければ、署名は認証されたことになる。得られる値は、点  $u_1 \cdot P + u_2 \cdot Q$  の  $x$  座標である。 $v = x \bmod n$  の値は演算され、 $r$  に対する認証が行われる。なお、この方式では、署名生成および認証のために  $y$  座標は使用されていないため、演算は必要とはなっていない。しかしながら、これらの場合、 $x$  および  $y$  座標に対して別的方式を使用することができ、 $y$  座標は、上述した方法で得られるか、ある  $x$  座標に対応する2つの  $y$  座標を計算し、それぞれを、署名の証明する目的のために使用することができる。これらのいずれにおいても比較が満たされない場合は、署名は認証されないことになる。つまり、認証は、点  $R = U_1 \cdot P + U_2 \cdot Q$  の演算を必要とするためである。これは、以下のように行われる。 $Q$  の  $x$  座標のみを送信し、図3の「2倍加算」を使用するか、もしくは、 $E(F_p)$  に対して  $U_2 \cdot Q$  の  $x$  座標を演算する。この  $x$  座標に対応する両点に対して、いずれにより認証されるかを調べる。

#### 【0061】

再び図1を参照すると、 $kP$  で表される通信部間でキーが伝達される場合、通信帯域幅を低減する場合、送信側は、 $kP$  の座標の内の1つのみを送信し、他方の座標を受信側で演算することができる。例えば、体の元が  $F_2^{155}$  に対して 155 ビットである場合、例えば、他方の座標の正しい値である単一のビットとしての識別子を送信してもよい。これにより、第2の座標が、受信側により演算され、正しいものを識別子から識別することができる。

#### 【0062】

したがって、図1を参照すると、送信部10は、最初に、受信側12の公開キー  $dP$  として、座標  $x_0$  を表すビット列、および、座標  $y_0$  の単一のビットを受信する。

#### 【0063】

送信側10は、レジスタ30に曲線のパラメタを有しているため、座標  $x_0$  および曲線のパラメタを使用することにより、算術部20から、他方の座標  $y_0$  の可能値を得ることができる。

#### 【0064】

$y^2 + xy = x^3 + ax^2 + b$  の式および座標  $x_0$  を有する曲線については、 $y_0$  の可能値  $y_1$  および  $y_2$  は、 $y^2 + xy = x_0^3 + ax_0^2 + b$  のルートとなる。

#### 【0065】

$y$  の解を得ることにより、演算部20において、2つの可能ルートが得られ、送信された

10

20

30

40

50

情報ビットとの比較により、どちらの値が  $y$  の値として適当かが示される。

**【0066】**

第2の座標 ( $y_0$ ) の2つの可能値は、 $x_0$  だけ異なっており、すなわち、 $y_1 = y_2 + x_0$  である。 $y_0$  の2つの値は  $y_0$  により異なっているため、 $y_1$  と  $y_2$  は、 $x_0$  の表現に「1」が現れるときには常時異なることになる。したがって、送信される追加ビットは、これらの位置のいずれかから選択され、 $y_0$  の値の対応ビットを調べることにより、2つのルートのいずれが適切な値かが示される。

**【0067】**

したがって、受信側10は、156ビットのみが検索されるにも関わらず、公開キー  $kP$  の座標を生成することができる。

10

**【0068】**

セッションキー  $kP$  の受信側12への送信も、送信側10は、 $x_0$  および  $y_0$  の選択された識別ビットである、1つの座標のみを送信すればよいので、同様に効率的に行うことができる。その後、受信側12は、 $y_0$  の可能値を再形成し、適切なほうを選択することができる。

**【0069】**

体  $F_{2^m}$  では、 $2a = 0$ とした二次方程式の解の公式を用いて  $y$  の解を求めることができない。したがって、その他の方法を使用する必要があり、これを効率的に行うために、特に、算術部20が適用される。

**【0070】**

一般的に、 $x_0$  が0でなければ、 $y = x_0 z$  である場合、 $x_0^2 z^2 + x_0^2 z = x_0^3 + ax_0^2 + b$  となる。これは、 $z^2 + z = x_0 + a + (b / x_0^2) \cdot 1 = c$  のように書くことができる。すなわち、

$$z^2 + z = c$$

である。

20

**【0071】**

$y_0$  の2つの可能値を得るためにには、 $m$ が奇数であれば、

$$z = c + c^4 + c^{16} + \dots + c^{2m-1}$$

あるいは、 $z = 1 + c + \dots + c^{2m-1}$  が用いられる。

**【0072】**

30

$m$ が偶数である場合も、 $c^w$  (ただし、 $w = 2^9$ ) の形態を有する項を用いた同様の解法が存在する。

**【0073】**

これは、 $F_{2^m}$  の正規基底表現に特に好適に使用される。

**【0074】**

上述したように、 $F_{2^m}$  の体の元を、 $g$  乗するためには、体の元が正規基底で表される、 $g$ 回循環シフト ( $g$  fold cyclic shift) により行える。

**【0075】**

したがって、 $z$  の各値は、得られた  $y_0$  の値をシフト、および加算することにより演算することができる。正しい値は、送信された追加ビットにより求めることができる。

40

**【0076】**

したがって、 $F_{2^m}$  の正規基底表現を使用することにより、 $y_0$  の座標を回復するために使用されるプロトコルを簡略化することができる。

**【0077】**

$P = (x_0, y_0)$  が、体  $F_{2^m}$  で定義された橿円曲線  $E$  である、 $y^2 + xy = x^3 + ax^2 + b$  上の点である場合、 $y_0$  は、 $x_0 = 0$  である場合は0であり、 $x_0 \neq 0$  である場合は、体の元  $y_0 \cdot x_0^{-1}$  の最小有効ビットと定義される。

**【0078】**

$P$  の  $x$  座標  $x_0$ 、およびビット  $y_0$  は、送信側10および受信側12間で送受信される。  $y$  座標は、以下のように回復される。

50

## 【0079】

(1)  $x_0 = 0$  であれば、 $y_0$  は、パラメタレジスタ 30 に記憶された体の元  $b$  のベクトル表現を、左側へ 1 段循環シフトすることにより得ることができる。すなわち、 $b = b_{m-1} b_{m-2} \dots b_1 b_0$  であれば、 $y = b_{m-2} \dots b_1 b_0 b_{m-1}$  である。

## 【0080】

(2)  $x_0 = 0$  であれば、以下が行われる。

(2.1)  $F_2^m$  で体の元  $c = x_0 + a + b x_0^{-2}$  を演算する。

(2.2)  $c$  のベクトル表現を、 $c = c_{m-1} c_{m-2} \dots c_1 c_0$  とする。

(2.3)

$$z_0 = y_0,$$

$$z_1 = c_0 z_0,$$

$$z_2 = c_1 z_1,$$

:

$$z_{m-2} = c_{m-3} z_{m-3},$$

$$z_{m-1} = c_{m-2} z_{m-2}$$

と設定し、体の元  $z = z_{m-1} z_{m-2} \dots z_1 z_0$  を形成する。

(2.4) 最後に、 $y_0 = x_0 \cdot z$  を演算する。

## 【0081】

なお、 $x_0^{-2}$  の演算は、上記のように、算術部 20 で簡単に演算することができ、 $y_0$  の演算は、乗法部 48 により得ることができる。

## 【0082】

上記の例では、 $y_0$  の適切な値の識別は、単一のピットの送信、および得られたルートの値を比較することにより得られていた。しかしながら、他の識別子を使用することによっても、値の適切な一方を識別することができ、演算は、 $G F(2^m)$  の体の楕円曲線による暗号化に限定されない。例えば、体が、 $Z_p$   $p = 3 \text{ (mod } 4)$  として選択される場合、適切な値と関連付けられたルジャンドルの記号を、適切な値として指定するために送信することができる。また、 $Z_p$  の元の集合は、 $y = 0$  であるとすれば、 $y$  が 1 つの部分集合であるとき、 $-y$  が他方となるような性質で、部分集合の対にさらに分割することができる。そして、任意の値をそれぞれの部分集合に割り当て、座標  $x_0$  と共に送信し、 $y_0$  の適切な値はどの部分集合に位置するかが示される。したがって、 $y_0$  の適切な値を求めることができる。簡略的に、 $y_0$  の適切な値の識別を促進するために、部分集合が区間配置される、適切な表現をとることができる。なお、上記した方法の 1 つを用いて座標を求めるることもできる。

## 【0083】

これらの方法は、楕円曲線を用いた暗号化に特に好適なものであるが、代数曲線に対しても使用できるものであり、曲線上の点の座標を転送する必要のある誤り訂正エンコーディングなどの、他の分野への適用も可能なものである。

## 【0084】

したがって、有限体  $G F_2^m$  内に位置する楕円曲線を使用すると共に、正規基底表現を使用することにより、楕円曲線を用いた暗号化に必要な演算を効率的に行うことができる。このような演算は、ソフトウェアやハードウェアのいずれによても実現することができ、演算の構成により、ハードウェアにより実現された有限体乗数の使用が特に効率的になる。

## 【0085】

$F_p$  および  $F_2^m$  上の楕円曲線点のスカラー倍数の演算効率を向上させるための、本発明のさらなる実施の形態を以下に示す。 $F_2^m$  で定義される、一般化した楕円曲線式  $E$  である、 $E : y^2 + x y = x^3 + a x^2 + b$ ,  $b \neq 0$  を考慮する。

## 【0086】

$P = (x_1, y_1)$  が生成元である場合、図 3 および投影曲線に対して説明した方法を用いて、 $kP$ ,  $(k+1)P$  が得られ、 $k$  はスカラーであり、 $kP = (X_2, Z_2)$ ,  $(k+1)P = (Y_2, W_2)$

10

20

30

40

50

)  $P = (X_3, Z_3)$ .

である。

【0087】

ここでの目的は、 $kP = (x_2, y_2)$  のアフィン座標 (affine coordinates) を得ることであり、 $x_2 = (X_2 / Z_2)$  であることは明らかになっている。

【0088】

$(k+1)P = (x_3, y_3)$  のアフィン座標を考慮すると、

【0089】

【数5】

$$x_3 = \lambda^2 + \lambda + x_1 + x_2 + a, \lambda = \frac{y_1 + y_2}{x_1 + x_2}$$

10

$$\lambda^2 + \lambda + (x_1 + x_2) + a = \frac{y_1^2 + y_2^2 + (x_1 + x_2)(y_1 + y_2) + (x_1 + x_2)^3 + a(x_1 + x_2)^2}{(x_1 + x_2)^2}$$

$$= \{y_2^2 + x_1 y_2 + x_2 y_1 + x_2 y_2 + x_1^2 x_2 + x_1 x_2^2 + x_2^3 + a x_2^2\} \frac{1}{(x_1 + x_2)^2}$$

$$= \frac{\{b + b + x_1 y_2 + x_2 y_1 + x_1^2 x_2 + x_1 x_2^2\}}{(x_1 + x_2)^2}$$

20

$$= \frac{x_1 y_2 + x_2 y_1 + x_2^2 x_1 + x_1^2 x_2}{(x_1 + x_2)^2}$$

$$= \frac{x_1 y_2 + x_2 y_1 + x_1 x_2 (x_1 + x_2)}{(x_1 + x_2)^2}$$

【0090】

30

であり、

$y_2$  の解を求める

【0091】

【数6】

$$y_2 = \frac{1}{x_1} \{x_3 (x_1 + x_2)^2 + x_2 y_1 + x_1 x_2 (x_1 + x_2)\} \quad (*)$$

【0092】

が得られ、

$x_1$  および  $y_1$  は分かっているが、

40

$x_2 = (X_2 / Z_2)$  と  $x_3 = (X_3 / Z_3)$  とを演算する必要がある。これらは、2回の逆演算 (inversions) と、2回の乗算とを必要とする。式を書き換えると、

【0093】

【数7】

$$y_2 = (x_1 + x_2) \left\{ \frac{1}{x_1} [X_3(x_1 + x_2) + y_1] + x_2 \right\} + y_1$$

$$= (x_1 + x_2) \left\{ \frac{1}{x_1 Z_3} [X_3(x_1 + x_2) + Z_3 y_1] + x_2 \right\} + y_1$$

【 0 0 9 4 】

となり、これらの数量を演算するには、 $x_1$ ,  $Z_3$  および  $Z_2$  を逆演算し、4回の乗算が必要となる。 $x_1$ ,  $Z_3$  は1回の乗算を必要とするので、合計は2回の逆演算および5回の乗算である。

特異な標数の場合、

【 0 0 9 5 】

【 数 8 】

$$E : y^2 = x^3 + ax + b$$

$$x_3 = \lambda^2 - x_1 - x_2 \quad \lambda = \frac{y_2 - y_1}{x_2 - x_1}$$

$$x_3 = \left( \frac{y_2 - y_1}{x_2 - x_1} \right) - x_1 - x_2$$

$$= \frac{y_2^2 - 2y_1y_2 + y_1^2 - (x_1 + x_2)(x_2 - x_1)^2}{(x_2 - x_1)^2}$$

$$= y_2^2 - 2y_1y_2 + y_1^2 - (x_1 + x_2)(x_2^2 - 2x_1x_2 + x_1^2)$$

$$= y_2^2 - 2y_1y_2 - x_1x_2^2 + 2x_1^2x_2 - x_2^3 + 2x_1x_2^2 - x_2x_1^2$$

$$= \frac{ax_2 + b + ax_1 + b - 2y_1y_2 - x_1x_2^2 + x_1^2x_2 + 2x_1x_2^2}{(x_2 - x_1)}$$

【 0 0 9 6 】

であり、

 $y_2$  の解を求める

【 0 0 9 7 】

【 数 9 】

$$2y_1y_2 = -x_3(x_2 - x_1)^2 + ax_2 + 2b + ax_1 + x_1x_2^2 + x_1^2x_2$$

もしくは

$$y_2 = \frac{1}{2y_1} \left\{ x_3(x_2 - x_1)^2 + a(x_2 + x_1) + 2b + x_1x_2(x_1 + x_2) \right\}$$

$$= \frac{1}{2y_1} \left\{ (x_1 + x_2) + (a + x_1x_2) - x_3(x_2 - x_1)^2 \right\}$$

【 0 0 9 8 】

10

20

30

40

50

となり、 $x_3$  を置換すると、

【0 0 9 9】

【数10】

$$x_2 = \frac{X_2}{Z_2}$$

$$y_2 = \frac{1}{2y_1 Z_3} \left\{ Z_3(x_1 + x_2)(a + x_1 x_2) - X_2(x_2 - x_1)^2 \right\}$$

10

【0 1 0 0】

が得られる。

同様に、体  $F_p$  では、

【0 1 0 1】

【数11】

$$y^2 = x^3 + ax + b$$

$$x_3 = \lambda^2 - x_1 - x_2$$

$$y_3 = \lambda(x_1 - x_3) - y_1$$

20

$$\lambda = \frac{y_2 - y_1}{x_2 - x_1} \quad (P2 \neq P3)$$

$$x_3 = \frac{y_2^2 - 2y_1 y_2 + y_1^2 - (x_2 - x_1)^2(x_2 + x_1)}{(x_2 - x_1)^2}$$

$$= \frac{y_2^2 - 2y_1 y_2 + y_1^2 - x_2^3 + x_1^2 x_2 + x_1 x_2^2 - x_1^3}{(x_2 - x_1)^2}$$

30

$$= \frac{ax_2 + b + ax_1 + b - 2y_1 y_2 + x_1 x_2(x_1 + x_2)}{(x_2 - x_1)^2}$$

$$y_2 = \frac{1}{2y_1} \left[ (x_1 + x_2) \bullet (a + x_1 x_2) + 2b - x_3(x_2 - x_1)^2 \right]$$

$$x_2 = X_2 \frac{1}{Z_2}, x_3 = X_3 \frac{1}{Z_3}$$

40

【0 1 0 2】

であり、逆演算と7個の倍数を意味し、または、同時に、1回の逆演算と13個の倍数を意味する。

$$3i + 7m = 1i + 13m$$

$x_3$  を置換すると、

【0 1 0 3】

【数12】

$$x_2 = X_2 \frac{1}{Z_2}$$

$$y_2 = \frac{1}{2y_1 Z_3} \bullet \left\{ Z_3 \bullet [(x_1 + x_2), (a + x_1 x_2) + 2b] - X_3 (x_2 - x_1)^2 \right\}$$

**【 0 1 0 4 】**

が得られる。

この場合、2回の逆演算と8個の倍数、または、同等に、1回の逆演算と11個の倍数が 10  
得られる。

**【 0 1 0 5 】**

したがって、本発明は、一般的に、暗号化方法およびそのシステムに関するものであり、特に、有限体の元が、プロセッサに対して効率的に乗算される、橍円曲線暗号化方法およびそのシステムに関するものである。上記暗号化方法およびそのシステムは、適当にプログラムされ汎用コンピュータなどの、適応する全てのプロセッサユニットとして実現できるものである。

**【 0 1 0 6 】**

本発明は、ある特定の実施の形態を参照して説明されたものではあるが、添付の特許請求の範囲に記載する発明の範囲を越えることなく、当業者によって様々に変更可能なものである。 20

**【 図面の簡単な説明 】**

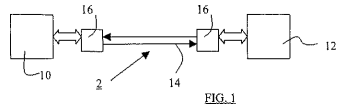
**【図1】** データ通信システムの概略を示す図である。

**【図2】** 暗号化 / 暗号解読ユニットの概略を示すブロック図である。

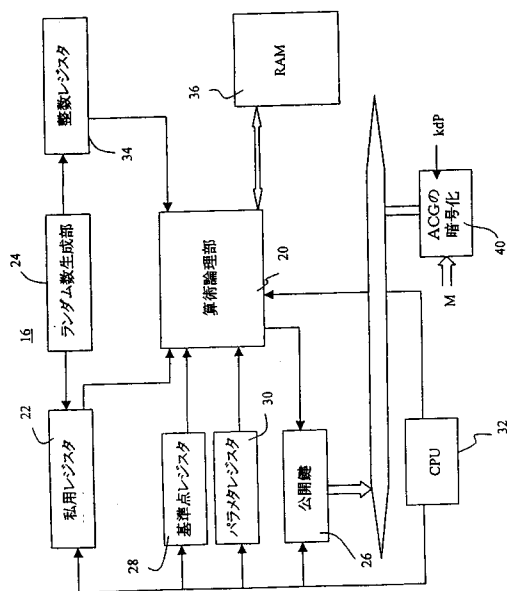
**【図3】** 点の倍数を計算するためのフローチャートである。

**【図4】** y 座標を取り出すためのフローチャートである。

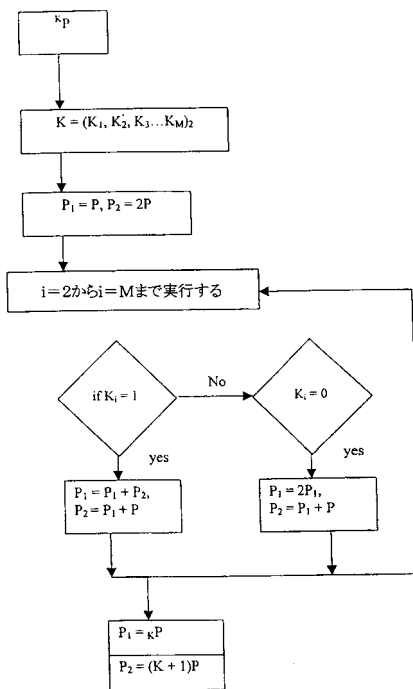
【図1】



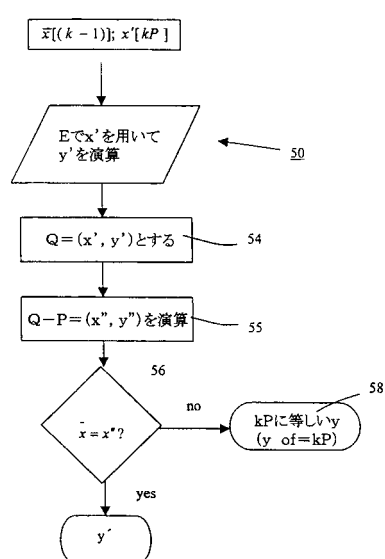
【図2】



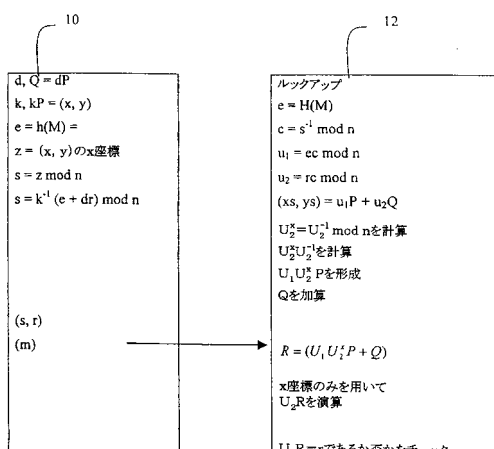
【図3】



【図4】



【図5】



---

フロントページの続き

- (72)発明者 ヴァンストーン , スコット , エー .  
カナダ , オンタリオ州 エヌ 2 ティー 2 エイチ 4 , ワーテルロー , サンドブルック コート 5  
3 9
- (72)発明者 ミューリン , ロナルド , シー .  
カナダ , オンタリオ州 エヌ 2 エル 4 アール 9 , ワーテルロー , ツイン オークス クレセント  
5 3 3
- (72)発明者 アンティパ , エイドリアン  
カナダ , オンタリオ州 エル 4 ゼット 3 アール 3 , ミシソーガ , コーティナ クレセント 5 6  
2 3
- (72)発明者 ギャラント , ロバート  
カナダ , オンタリオ州 エル 5 エム 5 エヌ 1 , ミシソーガ , ローズブッシュ ロード 4 7 8 8

審査官 新田 亮

- (56)参考文献 国際公開第 96 / 004602 (WO , A1 )  
欧州特許出願公開第 0874307 (EP , A1 )  
G.B.Agnew , An Implementation of Elliptic Curve Cryptosystems Over F2^155 , [online] , IE  
EE JOURNAL ON SELECTED AREAS IN COMMUNICATIONS , 1993年 6月 , VOL.11, NO.5 , p.804-8  
13 , [retrieved on 2009-07-15] , Retrieved from the Internet , URL , <http://ieeexplore.ieee.org/stamp/stamp.jsp?arnumber=00223883>

(58)調査した分野(Int.Cl. , DB名)

G09C 1/00  
G06F 7/72  
H04L 9/32